

УДК 519.642

СРАВНИТЕЛЬНЫЙ АНАЛИЗ РАЗЛИЧНЫХ ЧИСЛЕННО-СТАТИСТИЧЕСКИХ ПРОЕКЦИОННЫХ АЛГОРИТМОВ ДЛЯ РЕШЕНИЯ ЗАДАЧ ТЕОРИИ ПЕРЕНОСА

© 2022 г. Член-корреспондент РАН Г. А. Михайлов^{1,2,*},
А. С. Корда^{1,**}, С. В. Рогазинский^{1,2,***}

Поступило 29.10.2021 г.
После доработки 29.10.2021 г.
Принято к публикации 20.12.2021 г.

Проведен сравнительный анализ различных вариантов проекционного алгоритма метода Монте-Карло на примере оценки потока частиц через слой вещества с рассеянием типа Хеньи–Гринштейна. Исследована возможность минимизации среднего квадрата погрешности оценок путем уравнивания соответствующих стохастических и детерминированных слагаемых.

Ключевые слова: метод Монте-Карло, проекционная оценка, среднеквадратическая погрешность, оценка по столкновениям, прямое моделирование, полиномы Лагерра, индикатриса Хеньи–Гринштейна

DOI: 10.31857/S2686954322010106

1. Проекционные статистические оценки. Рассматривается последовательность полиномов, ортонормированных с весом $p(x)$:

$$\{\Psi_i(x)\}: \int_X \Psi_i(x)\Psi_j(x)p(x)dx = \delta_{ij}.$$

Известные (см., например, [1–3]) статистические проекционные оценки представим в виде

$$\tilde{\varphi}(x) = p^\alpha(x) \sum_{i=1}^m \tilde{a}_i \Psi_i(x), \quad 0 \leq \alpha \leq 1,$$

где

$$\tilde{a}_i = \frac{1}{N} \sum_{k=1}^N p^{1-\alpha}(\xi_k) \Psi_i(\xi_k),$$

причем

$$E\tilde{\varphi}(x) = p^\alpha(x) \sum_{i=1}^m a_i \Psi_i(x).$$

¹ Институт вычислительной математики и математической геофизики Сибирского отделения Российской академии наук, Новосибирск, Россия

² Новосибирский государственный университет, Новосибирск, Россия

*E-mail: gam@sscc.ru

**E-mail: asc@osmf.sscc.ru

***E-mail: svr@osmf.sscc.ru

Здесь ξ – случайная величина, которая в случае оценки плотности φ моделируется согласно φ . Если же φ – искомое решение интегрального уравнения 2-го рода, то ξ – траектория моделируемой цепи Маркова “столкновений”, а $\{\tilde{a}_i(\xi)\}$ – “оценки по столкновениям” специального вида (см. далее); N – объем выборки. Заметим, что детерминированный вариант разложения по полиномам Эрмита со значением $\alpha = 0.5$ представлен в [4].

Настоящая работа ориентирована в основном на решение интегральных уравнений $\varphi = K\varphi + f$ с субстохастическим ядром $k(x', x) \geq 0$, причем $\int k(x', x)dx \leq \rho < 1$, f – плотность распределения. В случае аналогового (прямого) моделирования [5]

оценка по столкновениям имеет вид $\xi = \sum_{k=0}^{N_c} h(x_k)$,

где $\{x_k\}$ – обрывающаяся с вероятностью единица цепь Маркова с характеристиками $f(x), k(x', x)$ [5]. Известно следующее утверждение (см., например, [5]).

Лемма 1. Если $h \in L_\infty$, то в случае аналогового моделирования

$$E\xi = (\varphi, h) = \int_X \varphi(x)h(x)dx, \quad D\xi < +\infty.$$

Лемма 1 показывает, что использование проекционной оценки с $\alpha = 1$ для неограниченного интервала X нецелесообразно.

На основе леммы 1 доказывается

Л е м м а 2. Если $p^{1-\alpha}(x) | \Psi_i(x) | \leq C_{i,\alpha} < +\infty$, то в случае прямого моделирования

$$E\tilde{a}_i = a_i = (\varphi, p^{1-\alpha}\Psi_i), \quad D\tilde{a}_i < +\infty,$$

где

$$\tilde{a}_i = \sum_{k=0}^{N_c} p^{1-\alpha}(x_k) \Psi(x_k).$$

Оптимизация оценки $\tilde{\varphi}(z)$ (точнее, минимизация ее среднеквадратической погрешности, как в математической статистике) возможна в норме с весом $p^{1-2\alpha}(x)$, так как при этом по аналогии с [1] имеем

$$\begin{aligned} \delta(m) &= \int E \|\varphi - \tilde{\varphi}\|_{p^{1-2\alpha}}^2 dx = \\ &= E \int p^{1-2\alpha}(x) p^{2\alpha}(x) \left[\sum_{i=1}^m \tilde{a}_i \Psi_i(x) - \sum_{i=1}^{\infty} a_i \Psi_i(x) \right]^2 dx = \\ &= \sum_{i=1}^m D\tilde{a}_i + \sum_{k=m+1}^{\infty} a_k^2 = \delta_1(m) + \delta_2(m). \end{aligned}$$

В случае бесконечного интервала X при существовании липшицируемой производной функции φ в [3] для разложения по полиномам Эрмита получена оценка $\delta_2(m) \leq c_2/m$, которую, предположительно, можно перенести на полиномы Лагерра.

Несложно доказать следующее утверждение.

Л е м м а 3. Если

$$\delta_1(m) = C_1 m, \quad \delta_2(m) = C_2/m, \quad (1)$$

то

$$m_{opt} = \sqrt{C_2/C_1}, \quad \delta_k(m_{opt}) = \sqrt{C_1 C_2}, \quad k = 1, 2. \quad (2)$$

Следовательно, в случае приближенного выполнения равенств (1), определять m_{opt} можно на основе уравнения $\delta_1(m) = \delta_2(m)$. При этом, согласно лемме 3, выполняются соотношения

$$m_{opt} \asymp \sqrt{N}, \quad \delta(m_{opt}) \asymp 1/\sqrt{N}.$$

Отметим, что рассматриваемые проекционные алгоритмы распространяются на оценки функциональных зависимостей в многомерных задачах, как, например, в рассматриваемой далее тестовой задаче для оценки осредненного решения.

2. Тестовая задача. В качестве тестовой рассматривалась задача об оценке плотности $\varphi(z)$ столкновений частицы в полубесконечном слое $z \geq 0$ рассеивающего и поглощающего вещества

для источника столкновений с плотностью $f(z_1, z_2, z; \omega) = e^{-z} \delta(z_1 - 0) \delta(z_2 - 0) \delta(\omega - \omega_0)$, $z > 0$, где $\omega_0 = (0, 0, 1)$ – направление скорости частицы, вызывающей начальное столкновение.

Параметры среды: коэффициент ослабления $\sigma = 1$, вероятность рассеяния $\sigma_s/\sigma = 0.9$, вероятность поглощения $\sigma_c/\sigma = 0.1$, индикатриса рассеяния Хеньи–Гринштейна:

$$g(\mu) = \frac{1 - \mu_0^2}{2(1 + \mu_0^2 - 2\mu_0\mu)^{3/2}}.$$

Средний косинус угла рассеяния $\mu_0 = 0.9$.

Отметим, что при $\sigma \equiv 1$ осредненная по z_1, z_2 плотность столкновений $\varphi(z) = \iiint \Phi(z_1, z_2, z; \omega) dz_1 dz_2 d\omega$, где Φ – интенсивность излучения. Таким образом, фактически рассматривается задача, близкая к проблеме Милна [6]. Для данных параметров довольно высокую точность имеет транспортное приближение [6], которое дает для $\varphi(z)$ следующую асимптотическую оценку:

$$\varphi_{as}(z) \asymp e^{-\lambda z}, \quad \lambda \approx \frac{1}{5.4}.$$

Полагая $p(z) = \varphi_{as}(z)$, получаем соответствующую последовательность полиномов Лагерра [7]:

$$\Psi_0(x) = \sqrt{\lambda}; \quad \Psi_1(x) = \sqrt{\lambda}(1 - \lambda x);$$

$$\Psi_{k+1}(x) = \left(\frac{2k+1-\lambda x}{k+1} \Psi_k(x) - \frac{k}{k+1} \Psi_{k-1}(x) \right).$$

Было реализовано статистическое моделирование [5] с целью оценки коэффициентов $a_i, i = 1, \dots, 200$, для вариантов с $\alpha = 0, \frac{1}{2}, 1$, т.е. для проекционных представлений вида:

- 1) $\sum_{i=0}^M a_i \Psi_i(x);$
- 2) $p^2(x) \sum_{i=0}^M a_i \Psi_i(x);$
- 3) $p(x) \sum_{i=0}^M a_i \Psi_i(x).$

Анализ результатов показал, что соотношение $\delta_2(m) \approx C_2/m$ здесь выполняется. Было реализовано 30 независимых оценок по $N = 10^6$ траекториям. На их основе путем уравнивания $\delta_1(m)$ и $\delta_2(m)$ были получены приближенные значения m_{opt} и $\delta(m_{opt})$. В табл. 1 эти результаты обозначены через eq.

Были также получены оценки m_{opt} и $\delta(m_{opt})$ по формулам (2), с помощью осреднения коэффициентов: C_1 в интервале $0 \leq m \leq 20$, C_2 в интервале $10 \leq m \leq 20$ для $\alpha = 1$ и C_1 в интервале $0 \leq m \leq 40$,

Таблица 1. Результаты расчетов для тестовой задачи

Тип оценки		$\alpha = 0$		$\alpha = 0.5$		$\alpha = 1$	
		m_{opt}	$\delta(m_{opt})$	m_{opt}	$\delta(m_{opt})$	m_{opt}	$\delta(m_{opt})$
eq	average	46	1.6×10^{-5}	35	3.2×10^{-5}	16	2.9×10^{-4}
	min	19	1.2×10^{-5}	13	2.4×10^{-5}	7	1.9×10^{-4}
	max	114	2.3×10^{-5}	67	4×10^{-5}	32	5.9×10^{-4}
ЛЗ	average	45	1.8×10^{-5}	36	3×10^{-5}	17	2.7×10^{-4}
	min	22	8.5×10^{-6}	19	1.6×10^{-5}	11	1.7×10^{-4}
	max	72	2.9×10^{-5}	59	5×10^{-5}	21	5.7×10^{-4}

C_2 в интервале $20 \leq m \leq 40$ для $\alpha = 0, 0.5$. В табл. 1 эти значения обозначены через ЛЗ.

Сравнение оценок (1), (2), (3) в интервале $0 \leq z \leq 2$ дано графически на рис. 1. На этом же рисунке приведены значения локальной оценки $\varphi(z)$ (в точках $z_k = 0, 0.1, 0.2, \dots, 10$), которые были получены подсчетом числа пересечений частицами соответствующих плоскостей с весом $1/|\omega_z|$ [5] для $|\omega_z| > 0.001$. При этом дисперсия оценки конечная, а относительное смещение не превосходит 0.1%, как и среднестатистическое уклонение в результате моделирования 10^8 траекторий.

Кроме того, были вычислены L_2 -нормы разности локальной и проекционных оценок для интервала $0 < z < 10$:

- 1) 0.00535, 2) 0.00539, 3) 0.00752.

Эти оценки и графики, с учетом леммы 2 показывают предпочтительность здесь проекционной оценки с $\alpha = 0.5$, так как дополнительные расчеты показали, что она несколько более устойчива по отношению к выбору базовой плотности $p(z)$,

сравнительно с вариантом $\alpha = 0$ и особенно с вариантом $\alpha = 1$. Практически может быть так же важно, что эта оценка допускает оптимизацию в стандартной L_2 -метрике.

Таблица 2 показывает влияние выбора плотности $p(z)$ на оценку с $\alpha = 0.5$. Здесь $\delta(m_{opt})$ минимизируется при $\lambda \approx 1/3.8$, в связи с тем, что плотность $\varphi(z)$ убывает существенно сильнее, чем $\varphi_{as}(z)$ в нижней части слоя.

Отметим, что представленные в табл. 1, 2 соотношения результатов для разных значений параметров α и λ получены на одном и том же ансамбле траекторий, что существенно повышает их статистическую значимость.

3. Дополнительная задача для конечного слоя. Решалась также задача о переносе частиц через конечный слой $0 \leq z \leq H = 10$ для вещества с радиационными параметрами из раздела 2.

Для корректного использования разложения соответствующей плотности $\varphi(z) = \varphi_H(z)$ по по-

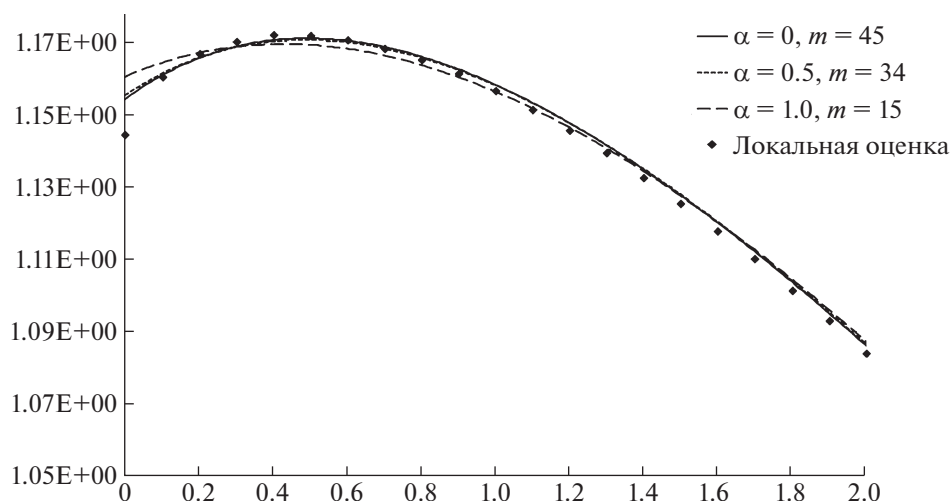


Рис. 1. Графики локальной и проекционных оценок в интервале $0 \leq z \leq 2$.

Таблица 2. Результаты расчетов по формулам (2) для $p(z) = e^{-\lambda z}$ при $\alpha = 0.5$

λ^{-1}	7.1	6.3	5.4	4.6	3.8	3	2.2	1.6
m_{opt}	42	39	36	34	32	31	30	31
$\delta(m_{opt})$	3.25×10^{-5}	3.14×10^{-5}	3.04×10^{-5}	3.01×10^{-5}	3.01×10^{-5}	3.13×10^{-5}	3.33×10^{-5}	3.68×10^{-5}

линомам Лагерра процесс переноса моделировался как и в разделе 2 в полубесконечном слое, но столкновения в точках с координатой $z \leq H$ не учитывались на траекториях, вышедших (до их реализации) из рассматриваемого конечного слоя. При этом получалась несмещенная оценка плотности $\varphi_H(z)$ для слоя и, как показали расчеты, приблизительно выполнялось соотношение $\delta_2(m) \approx C_2/m$. В результате проведенных расчетов получены результаты, аналогичные результатам, приведенным в разделе 2; при этом для $\alpha = 0.5$ существенная дополнительная погрешность (с превышением от 1 до 10%) получается лишь при $z > 9$; соответствующее L_2 -уклонение равно 0.02. Это показывает, что разработанная методика оптимизации может быть подходящей и для оценки плотности $\varphi_H(z)$ с указанной выше искусственной модификацией моделирования траекторий, которую можно рассматривать как регуляризацию стохастической проекционной оценки.

ИСТОЧНИК ФИНАНСИРОВАНИЯ

Исследование выполнено в рамках государственного задания ИВМиМГ СО РАН № 0251-2021-0002.

СПИСОК ЛИТЕРАТУРЫ

1. *Ченцов Н.Н.* Статистические решающие правила и оптимальные выводы. М.: Наука, 1972.
2. *Mikhailov G.A., Tracheva N.V., Ukhinov S.A.* Randomized projection method for estimating angular distributions of polarized radiation based on numerical statistical modeling // *Comput. Math. and Math. Phys.* 2016. V. 56. № 9. P. 1540–1550. <https://doi.org/10.7868/S0044466916090155>
3. *Rogasinsky S.V.* Two variants of Monte Carlo projection method for numerical solution of nonlinear Boltzmann equation // *Russian Journal of Numerical Analysis and Mathematical Modelling.* 2019. V. 34 (3). P. 143–150. <https://doi.org/10.1515/rnam-2019-0012>
4. *Grad H.* On the kinetic theory of rarefied gases // *Comm. Pure and Appl. Math.* 1949. V. 2. P. 331–407.
5. *Марчук Г.И., Михайлов Г.А., Назаралиев М.А. и др.* Метод Монте-Карло в атмосферной оптике. Новосибирск: Наука, 1976.
6. *Davison B.* Neutron Transport Theory. Oxford University Press, 1957.
7. *Jackson D.* Fourier Series And Orthogonal Polynomials. The University of Minnesota, 1941.

COMPARATIVE ANALYSIS OF VARIOUS NUMERICALLY STATISTICAL PROJECTION ALGORITHMS FOR THE SOLVING THE TRANSFER THEORY PROBLEMS

Corresponding Member of the RAS **G. A. Mikhailov^{a,b}, A. S. Korda^a, and S. V. Rogasinsky^{a,b}**

^a *Institute of Computational Mathematics and Mathematical Geophysics, Siberian Branch, Russian Academy of Sciences, Novosibirsk, Russia*

^b *Novosibirsk State University, Novosibirsk, Russia*

A comparative analysis of various variants of the Monte Carlo projective algorithm for estimating the particles flow through a layer of medium with scattering of the Henyey-Greenstein type is carried out. The possibility of minimizing the mean-square error by equalizing the corresponding stochastic and deterministic terms is investigated.

Keywords: Monte Carlo method, projection estimator, mean-square error, collision estimator, direct simulation, Laguerre polynomials, Henyey-Greenstein indicatrix